厚生労働科学研究費補助金(循環器疾患・糖尿病等生活習慣病対策総合研究事業) 分担研究報告書

脳卒中・循環器病のEvidence-based policy makingの推進に関する研究

2001年から2019年における循環器病リスク要因の分布変化が、脳卒中の発症数・有病年数・死亡数・医療費及び健康寿命に与えた影響の定量化: 日本全体を対象としたマイクロシミュレーション研究

研究分担者 尾形宗士郎 国立循環器病研究センター予防医学・疫学情報部 室長 研究分担者 清重映里 国立循環器病研究センター予防医学・疫学情報部 上級研究員 研究分担者 西村邦宏 国立循環器病研究センター予防医学・疫学情報部 部長 研究代表者 飯原弘二 国立循環器病研究センター循環器病対策情報センター センター長

研究要旨

【背景・目的】脳卒中による死亡数の削減は、循環器病対策推進基本計画における主要な目標の一つである。本研究では、2001年から2019年にかけて日本全体での脳卒中による健康および経済的負荷(発症数、死亡数、QALYs、医療費等)の変化に対して、2001年から2019年における循環器病リスク要因の分布変化がどのように影響したかを定量的に評価した。

【方法】日本に居住する30~99歳の成人を対象に、循環器病リスク要因および脳卒中の発症・死亡に関する2001年から2019年の全国的な変化を再現する個人ベースのマイクロシミュレーションモデルを構築した。このモデルは、国民健康・栄養調査や人口動態統計などの信頼性ある公的データに基づき検証された。ベースラインシナリオでは、対象期間中の全国におけるリスク要因(収縮期血圧、喫煙率、LDLコレステロール、BMI、HbA1c、身体活動、野菜・果物の摂取量)の実際の変化を反映。一方、反実仮想シナリオでは、これらのリスクが2001年の水準で維持された場合を仮定した。主要評価項目は脳卒中の発症数、副次評価項目は有病年数、脳卒中に関連する直接・間接費用、全死因死亡数、QALYsを設定した。

【結果】実際のリスク要因の変動と反事実的シナリオを比較した結果、該当期間におけるリスク要因の分布変化によって、男性で280,000 (95%不確実性区間 [UI]: 150,000 to 460,000)、女性で190,000 (95% UI: 110,000 to 310,000)の脳卒中発症が予防または遅延につながったとされた。内訳としては、収縮期血圧の低下による脳卒中発症の予防・延長が最も大きく、男性で190,000 (95% UI: 100,000 to 300,000)、女性で140,000 (95% UI: 76,000 to 230,000)の脳卒中発症を予防あるいは延長させていた。次いで、喫煙率の低下が男性で97,000件 (95% UI: 49,000 to 170,000)、女性で46,000 (95% UI: 25,000 to 82,000)件の脳卒中発症者を予防あるいは延長させていた。一方で、BMIの上昇(男性で8,100 [2,900 to 19,000]、女性で2,100 [300 to 4,600])、身体活動の低下(男性で2,600 [400 to 6,300]、女性で7,300 [3,600 to 15,000])、野菜・果物摂取の減少(男性で3,300 [1,100 to 8,800]、女性で2,900 [700 to 8,700])により脳卒中の発症は増加したと推定された。

【結論】脳卒中による負担の軽減は、主に収縮期血圧と喫煙率の改善に起因すると考えられるが、BMIの増加、運動不足、野菜・果物摂取の減少といった負の変化により、その効果の一部は打ち消されたと推測される。

A. 研究目的

高齢化が進行する現代社会において、脳卒中を含む循環器病(CVD)への対策は1990年から2017年の間に、人口の高齢化が脳卒中を含むCVD死亡者数を約5億4,000万人増加させたと推計され、高らに国内の高齢化率は2040年に35%へと達する見込みである(国立社会保障・人口問題研究所、令和5年推計)。

高齢化による脳卒中死亡の増加を抑えるには、医療の質をさらに高め、CVDリアでは、医療の質をさらにとが不可欠を要因を改善しなの通りである。その理由は次の通りである。その理由は次の通りである。その理由は次の通りでもなるとして、との地卒中死亡数を用いて2040年までの脳卒中死亡数を中でよる死亡者もった。その結果、日本では加を見積もった。その結果、日本では1995年から2019年にかけて観察された「自動化による死亡者があると推計された。

CVDリスク要因に対する公衆衛生的介入は、脳卒中死亡数の減少に寄与しびき見が、ためき傾向には停滞の兆としが、そのでは存出をでは、一環として、血圧、血糖、脂質生的方として、血圧対する公衆に対して、近行われて、要因に対する公衆に対して、大が行りスク要因の改善とが行りなりに寄与している。といるとの報告されている。。

脳卒中死亡に対する政策効果を事前に評価するには、長期かつ大規模なコホート研究が必要となるが、実施には多大なコストと時間を要する。例えば、健康な集団における政策介入の効果を検証するに

このような背景を踏まえ、日本全体における脳卒中の発症数や有病年数、死亡数、医療費、健康寿命に対して、CVD要因の変化がどのような影響を与えるかを定量的に評価できるマイクロシミュレーションモデル「日本版IMPACT NCD」を開発した。

なお、本成果は学術誌に投稿中のものを 含んでいる。

B. 研究方法 *研究デザインの概要*

本研究では、2001年から2019年までの30 歳から99歳までの日本人集団を、 microsimulation modelである日本版 IMPACT NCDによって生成した。英国で 開発及び妥当性検証済みのIMPACT NCD modelの枠組みに基づいている^{4,5}。

IMPACT NCD modelのモデル構造

IMPACT NCDは動的,離散時間,確率統計的,オープンコホートの microsimulation modelであり、主たる構成要素は次の通りである^{4,5} (Figure 1)。

- Demographic module: 現実の人口 分布(年齢・性別ごとの構成割 合)に近づけるため、乱数を用い てコンピューター上に仮想の個人 を生成する。データリソースは、 国勢調査と人口動態統計の人口推 計と、国立社会保障・人口問題 研究所の将来推計人口である。
- Risk factor module: 国民健康・栄 養調査のデータをもとに、日本人 のCVDリスク要因の分布、経年変 化、および要因間の相関構造を統 計モデルGeneralized Additive Models for Location, Scale, and Shape(GAMLSS)により推定した。各仮想個人の年齢・性別および他のリスク要因の値を条件とし て、収縮期血圧(SBP)、LDLコ レステロール(LDL-c)、 HbA1c、BMI、喫煙状況、野菜・ 果物の摂取量、身体活動といった リスク要因の値を生成した。これ らのデータは1995年から2019年の 国民健康・栄養調査結果に基づい ている。
- Disease module: 先行研究や調査 で報告されている性別・年齢別の 脳卒中発症率および死亡率、なら びにメタアナリシスから得られた リスク比やハザード比に、生成し た個人の年齢・性別・CVDリスク 要因の値を対応させ、乱数を用い て脳卒中の発症確率および死亡確 率を算出する。

これらの確率と乱数、ならびにベルヌーイ分布により、脳卒中の発 症および死亡の有無を決定する。 その後、個人ごとに有病年数、 OALYs、医療費を推計する。

データリソースは下記通りであ る。脳卒中発症率は、Global Burden of Diseaseの2021年版の値を使用した。脳卒中死亡率は人口 動態統計の死亡統計を使用した。 将来の脳卒中死亡率はBayesian Age-Period-Cohort modelで推定し た2040年までの脳卒中死亡率を、 現状のトレンドが続いと仮定した ときのCVD将来死亡率とした²。 脳卒中発症と死亡リスクに対す る、各CVDリスク要因の相対危険 度は、既報のメタアナリシスを参 照した(Table 1)。QALYsは先行研究で確立された日本人のEQ-5D-5Lの基準値を用いている6。これ

は医療技術評価に関する日本のガ イドラインでも推奨されているも のである。脳卒中に関する直接医 療費は、2019年の「国民医療費推 計」を用いた。生産性損失やイン フォーマルケアに伴う間接費につ いては、2017年に発表された日本 におけるがん、心疾患、脳卒中の 疾病費用に関する研究から得た推 計値を用いた7。

CVDリスク要因に関するシミュレーショ

ンシナリオ 本研究では、2001年以降のCVDリスク要 本研究では、2001年以降のCVDリスク要 因の変化が、脳卒中負荷(発症数、有病 年数、全死因死亡数、直接医療費・間接 費、およびQALYs) にどの程度寄与した かを、単独および複数のCVDリスク要因 の組み合わせに分けて、定量的に評価した。そのため、ベースケースシナリオ と、いくつかの反事仮想シナリオを比較 する方法を用いた。

- 1) **ベースケースシナリオ:**本シナリ オでは、2001年から2019年にかけ て観察されたCVDリスク要因と脳 卒中の発症率と死亡率の動向に類 似するような個人単位のライフコ ースを再現している。なお、
- 2) CVDリスク要因全固定シナリオ **(複合シナリオ) :**このシナリオ では、年齢および性別ごとに、す べてのCVDリスク要因の曝露レベル が2001年時点の状態に維持された と仮定して、個人レベルの反実仮 想ライフコースを再現した。
- 3) **7つの個別CVDリスク要因固定シ ナリオ:**リスク要因ごとに、その 曝露レベルを2001年水準で固定 し、他のリスク要因についてはベ ースケースのままとした。たとえ ばLDL-cのシナリオでは、2001年以 降に観察されたLDL-cの変化が存在 しなかった場合の結果をシミュレ ーションする。

対象としたリスク要因は以下の通 りである。

- SBP(降圧薬の使用を補正)
- LDL-c(脂質低下薬の使用を補
- HbA1c(糖尿病治療薬の使用を 補正)
- **BMI**
- 喫煙状況 (カテゴリー:現在 喫煙、過去喫煙、非喫煙。現 在喫煙者については1日あたり

の喫煙本数を連続変数として 扱う

- 身体活動 (1週あたりの回数)

果物・野菜の摂取量 (g/日)

モデル出力としての評価指標

本研究における主要なアウトカムは、全国レベルの脳卒中発症数である。副次的アウトカムは、全国の脳卒中の有病年数、全死因死亡数、直接医療費・間接費、およびQALYsを設定した。これらの評価指標は、以下の4つの形式で提示した:

- 1) ベースケースにおける疫学指標: 脳卒中の発症数および全死因死亡 数。
- 2) 疫学指標のベースケースと反事実 **シナリオ間の差:**予防または発 症・死亡が遅延された症例数(case s prevented or postponed; CPPs), 有病年数 (case-years prevented or p ostponed; CYPPs) 、および死亡数 (deaths prevented or postponed: D PPs)。なお、CPPsはイベントがど れだけ遅延したかの期間は考慮し ない。一方で、CYPPsは遅延年数を 反映する。たとえば、イベント発 症を5年先送りした場合は、CPPと して1件、CYPPとして5年とカウン トされる。CPPやCYPPがマイナス 値を取る場合は、当該シナリオに よって症例が増加した、あるいは 発症・死亡が早まったことを意味 する。特に記載のない限り、2001 年から2019年までの累積値を報告 している。
- 3)**保健経済に関する出力指標**:QALY sおよびCVDに関連する直接費・間 接費。
- 4) 保健経済指標のベースケースと反事実シナリオ間の差:ベースケースと反事実シナリオの比較により、純増したQALYsおよび節約されたCVDに関する直接費・間接費を算出した。

なお、本研究は過去の実績を対象としているため、コストおよびQALYsに対する割引は行っていない。すべての費用は2021年時点の日本円に換算した後、2021年のIMF為替レート(1,000円=10.56米ドル)を用い、CCEMG-EPPI Centre Cost Converter(バージョン1.7、2024年1月更新)を通じて米ドルに変換した。

不確実性および感度分析

日本版IMPACT NCD modelでは、入力パラメーターに含まれる不確実性を出力に反映させるため、二次モンテカルロシミュレーションを用いている。出力結果は、中央値および95% UIとして要約して報告した。複数のシナリオ間で共通のパラメーターを使用しているパラメータリオの出力結果には共分散が存在する。そのため、UIが重なっている場合であっても、統計的有意性がないことを意味するものではない。

モデルのキャリブレーションと妥当性評価 脳卒中による年間発症割合および死亡割合 については、観察された傾向と一致するよ うキャリブレーションを行った。モデルの 妥当性評価は、既存のガイドラインに準拠 して実施し、以下の2点を中心に確認し た。

- フェイスバリデーション:IMPACT NCDの構造、実装手順、出力に関して、著者間の議論およびピアレビューを通じて専門的観点から妥当性を検証。
- 内部妥当性の検証:ベースケースから得られた出力と、入力に用いたCVDリスク要因、発症率、死亡割合の分布を比較することにより、モデル内部の整合性を確認した。

(倫理面への配慮)

本研究で使用したデータは集計データやオープンデータであるため、「人を対象とする生命科学・医学系研究に関する倫理指針」の適応外である。

C. 研究結果 データの特徴と妥当性評価

日本版IMPACT NCDモデルを用いて、ベースケースシナリオにおける脳卒中および保健経済指標の2001年と2019年の推定値を算出した(Table 2)。当モデルの妥当性を確認するため、脳卒中の発症率および死亡率について、観測値とモデルによる予測値を比較した。両者は水準・経時トレンドともに類似しており、これにより当モデルの予測値は妥当であると判断した (Figure 2)。

主要アウトカム

Figure 3は、モデル化したCVDリスク要因の分布に基づき、2001年から2019年における脳卒中の年間発症数の累積CPPsを、ベースケースシナリオおよびすべての反事実的

シナリオにわたって示したものである。ベースケースシナリオでは、実際の観測データに類似する形で、脳卒中の年間発症数をFigure 3の黒線で表している。2001年における脳卒中発症数は、男性で154,000 (95,80 0 to 252,000)件、女性で122,000 (85,600 to 185,000) 件と、当モデルにより推定された(Figure 3)。

一方、7つのCVDリスク要因すべてを2001 年時点の水準に固定した複合反事実仮想シ ナリオにおいては、脳卒中の年間発症数を 赤線で示している。2019年時点の発症数 は、ベースケースと複合シナリオでそれぞ れ以下のとおりであった:脳卒中は男性が 147,000 (102,000 to 221,000)件 vs 180,000 (124,000 to 270,000) 件で、女性が122,000 (87,300 to 174,000) 件 vs 146,000 (102,000 to 213,000) 件であった(Figure 3)。これら の差異は、モデル化されたCVDリスク要因 の変化により、脳卒中が男性で280,000 (15 0,000 to 460,000)件、女性で190,000 (110,00 0 to 310,000)件、それぞれ予防または発症 遅延されたことを示しており、これが2001 年から2019年までの累積CPPsである(Tabl e 3) 。

また、7つのリスク要因のそれぞれについ 2001年水準に固定した個別の反事実シ ナリオに基づく脳卒中の年間発症数も示し ている (Figure 3)。収縮期血圧の低下による脳卒中発症の予防・延長が最も大き く、男性で190,000 (95% UI: 100,000 to 300,000)、女性で140,000 (95% ÚI: 76,000 to 230,000)の脳卒中発症を予防あるいは 延長させていた。次いで、喫煙率の低下 が男性で97,000件 (95% UI: 49,000 to 170.000)、女性で46.000 (95% UI: 25.000 to 82,000)件の脳卒中発症者を予防あるいは 延長させていた。一方で、BMIの上昇 (男性で8,100 [2,900 to 19,000]、女性で 2,100 [300 to 4,600])、身体活動の低下 (男性で2,600 [400 to 6,300]、女性で7,300 [3,600 to 15,000])、野菜・果物摂取の減 少(男性で3,300 [1,100 to 8,800]、女性で 2,900 [700 to 8,700])により脳卒中の発症 は増加したと推定された。

加えて、これらのシナリオから、各リスク要因が脳卒中の累積CPPsにどの程度寄与したかを推計した。その結果、脳卒中の累積CPPsは主にSBPと喫煙状況の改善による影響が大きく、LDLコレステロールおよびHb Alcの改善による影響は中程度であった (Fi gure 3)。一方で、BMI、身体活動、果物・野菜摂取量の変化は、一部においてCPPsを相殺する方向に働いていた (Figure 3)。

副次アウトカム

Figure 4は、日本における2001年から2019年の間に、脳卒中に関して、累積CYPPs、DPPs、純増QALYs、ならびに純節約された直接費および間接費の推計結果を示している。これらは、各反事実的シナリオとベースケースシナリオを比較することにより評価されたものである。

複合反事実シナリオにおける結果は、Table 3およびFigure 4の赤い点(推計値)と赤 いバー (95% UI) で表示している。またFi gure 4では、7つの各CVDリスク要因を個別 に2001年水準に固定した反事実的シナリオ に基づく結果も示している。2001年から20 19年にかけての脳卒中に対する累積CYPP s、DPPs、純増QALYs、ならびに純節約さ れた直接・間接医療費は、主にSBPおよび 喫煙状況の改善による影響が大きく、LDL コレステロールおよびHbA1cの改善は中程 度の寄与であった。ただし、HbA1cのトレ ンドについては、他の指標とは異なり、Q ALYsに対して負の影響を与えていた。 方、BMIの上昇、身体活動の減少、果物・ 野菜摂取量の減少といったトレンドは、こ れらの累積効果を一部相殺する方向に働い ていた。

D.考察

本研究で用いた日本版IMPACT NCD model により、2001年から2019年にかけて、日本における主要なCVDリスク要因の分布変化が、全国レベルで脳卒中の発症を累積的に予防または遅延させたことが定量化された。これにより、全死因死亡の予防・遅延、QALYsの純増、ならびに脳卒中に関連する直接費・間接費の純節約がもたらされたと推計された。

特に、SBPの低下および喫煙率の減少が、これらのCVD負荷の軽減に大きく寄与していた。一方で、BMIの上昇、身体活動の低下、および果物・野菜摂取量の減少は、これらの効果を一部相殺する要因となっていた。

SBP低下と喫煙状況の改善

今回の結果は、SBPの低下と喫煙状況の改善が、日本のCVD負荷の軽減に大きく貢献したことを示している。1961年から2016年の間に、日本では全ての年齢層で平均SBPが10~20mmHg低下しており、これは健診による高血圧の早期発見、減塩の普及、治療の向上などが要因とされる8。

また、喫煙率については、2001年から2016 年の間に25~94歳の男性で49.3%から33.

1%、女性で14.1%から10.7%へと減少した %。この背景には、たばこ価格の上昇や社会 経済的要因がある^{9,10}。実際、2007年から20 10年にかけての価格上昇により、禁煙者の 割合は男性で7.0%、女性で6.5%増加した1

公衆衛生上の示唆

本研究結果は、日本が今後もSBP、喫煙、L DL-cの管理政策を維持しつつ、HbA1c、B MI、身体活動、果物・野菜摂取量に関して は、より積極的な対策が必要であることを 示している。特に2040年には日本の総人口 の約35%が65歳以上になると見込まれてお り、CVDのさらなる増加が予測されている 2,11 。その抑制に向けた対応は急務である。 また、SBPや喫煙を含むCVDリスク要因に 起因するCVD死亡および全死因死亡の減少 が、2010年以降日本を含む世界全体で停滞 していることが、他の研究でも指摘されて いる。

E. 結論

本研究で用いた日本版IMPACT NCD model により、7つのCVDリスク要因の全国分布 の変化が、2001年から2019年の間に脳卒中 の症例数、全死因死亡数、関連コストを減 少させ、QALYsを増加させたことが明らか となった。SBPの低下と禁煙の進展が主な 貢献要因であったが、BMIの上昇、身体活 動の減少、果物・野菜摂取量の減少は、そ の効果を一部相殺した。今後予想されるCV D死亡の増加に対応するためには、リスク 要因の継続的な改善が不可欠である。

F. 研究発表 1. 論文発表

現在投稿中。

2. 学会発表

尾形 宗士郎,清重 映里,福田 仁,飯 弘二, 西村 邦宏. 2001-2019年の日 本の脳卒中動向に対する循環器病リスク 要因の全国的影響の分析: A Microsimulati on Study. STROKE 2025.

G. 知的財産権の出願・登録状況

1. 特許取得 該当なし。

2. 実用新案登録

該当なし。

3. その他

該当なし。

参考文献 I.

- 1 Cheng X, Yang Y, Schwebel DC, et al. Population ageing and mortality during 1990-2017: A global decomposition analysis. PLoSMed 2020: 17. DOI:10.1371/journal.pmed.1003138.
- Kiyoshige E, Ogata S, O'Flaherty M, et al. 2 Projections of future coronary heart disease and stroke mortality in Japan until 2040: a Bayesian age-period-cohort analysis. Lancet Reg Heal West Pacific 2022; 31: 100637.
- Abbafati C, Abbas KM, Abbasi-Kangevari 3 M, et al. Global burden of 87 risk factors in 204 countries and territories, 1990-2019: a systematic analysis for the Global Burden of Disease Study 2019. Lancet 2020; 396: 1223-49.
- 4 Kypridemos C, Allen K, Hickey GL, et al. Cardiovascular screening to reduce the burden from cardiovascular disease: microsimulation study to quantify policy options. BMJ Br Med J 2016; 353: i2793. 5
 - Kypridemos C, Collins B, McHale P, et al. Future cost-effectiveness and equity of the NHS Health Check cardiovascular disease prevention programme: Microsimulation modelling using data from Liverpool, UK. PLOS Med 2018; 15: e1002573.
- 6 Shiroiwa T, Noto S, Fukuda T. Japanese Population Norms of EQ-5D-5L and Health Utilities Index Mark 3: Disutility Catalog by Disease and Symptom in Community Settings. Value Heal 2021; **24**: 1193–202.
- 7 Matsumoto K, Hanaoka S, Wu Y, Hasegawa T. Comprehensive Cost of Illness of Three Major Diseases in Japan. J Stroke Cerebrovasc Dis 2017; 26: 1934-
- 8 Hisamatsu T, Miura K. Epidemiology and control of hypertension in Japan: a comparison with Western countries. J Hum **Hypertens** 2021. DOI:10.1038/s41371-021-00534-3.
- 9 Tanaka H, Mackenbach JP, Kobayashi Y. Widening socioeconomic inequalities in smoking in Japan, 2001–2016. J Epidemiol 2021; **31**: 369–77.
- 10 Tabuchi T, Nakamura M, Nakayama T, Miyashiro I, Mori JI, Tsukuma H. Tobacco price increase and smoking cessation in Japan, a developed country with affordable tobacco: A national population-based observational study. J Epidemiol 2016; 26:

14-21.

National Institute of Population and Social Security Research. Population Projections for Japan (2023 revision): 2021 to 2070. Tokyo, Japan, 2023 https://www.ipss.go.jp/index-e.asp.

Microsimulation modelであるIMPACT NCD Japanの開発とその応用

• IMPACT NCD Japanは、観測データと既存meta-analysisの結果を統合し、高精度な予測値を政策介入シナリオ ごとに算出できる。シナリオを比較することで、政策介入(今回はCVDリスク要因の経時変化)が国全体にも たらす中長期効果を、短期間且つ低コストで定量評価可能である。UK版は妥当性検証済み。

生成されるデータの例

ID Year Sex Age 野菜果物 喫煙 運動習慣 BMI HbA1c LDLc SBP



Figure 1. IMPACT NCD Japan のモデル構造の概要

IMPACT NCD Japanの推定値と予測値の妥当性検証

• 脳卒中の発症率と死亡率における、観測値とIMPACT NCD Japanの推定値は概ね類似しており、予測値もトレンドに合致しており、当モデルの妥当性を確認できた。

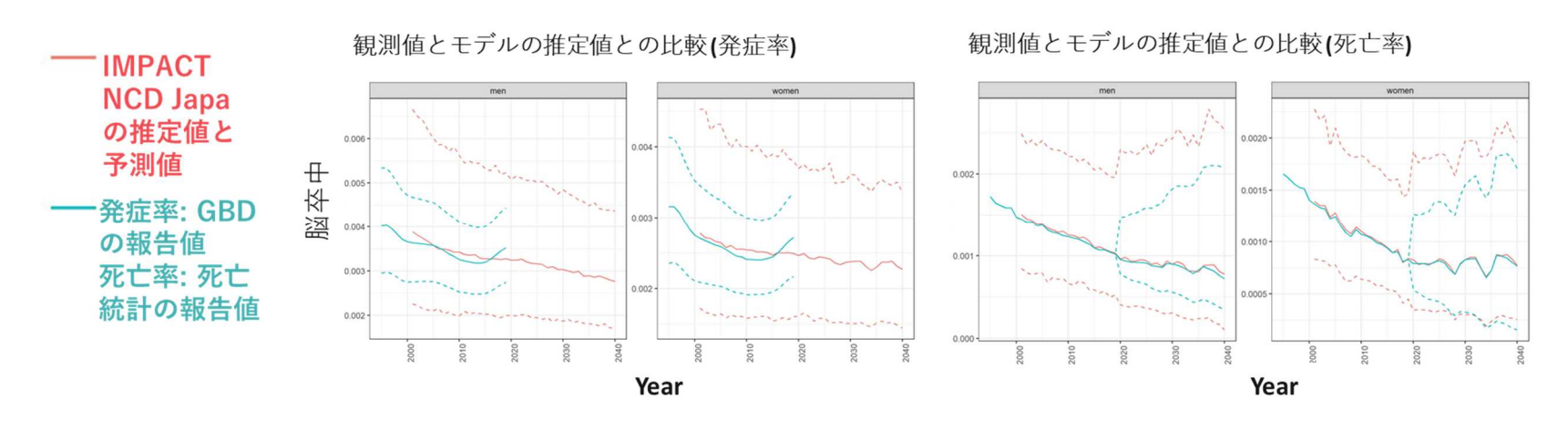


Figure 2. IMPACT NCD の妥当性検証結果

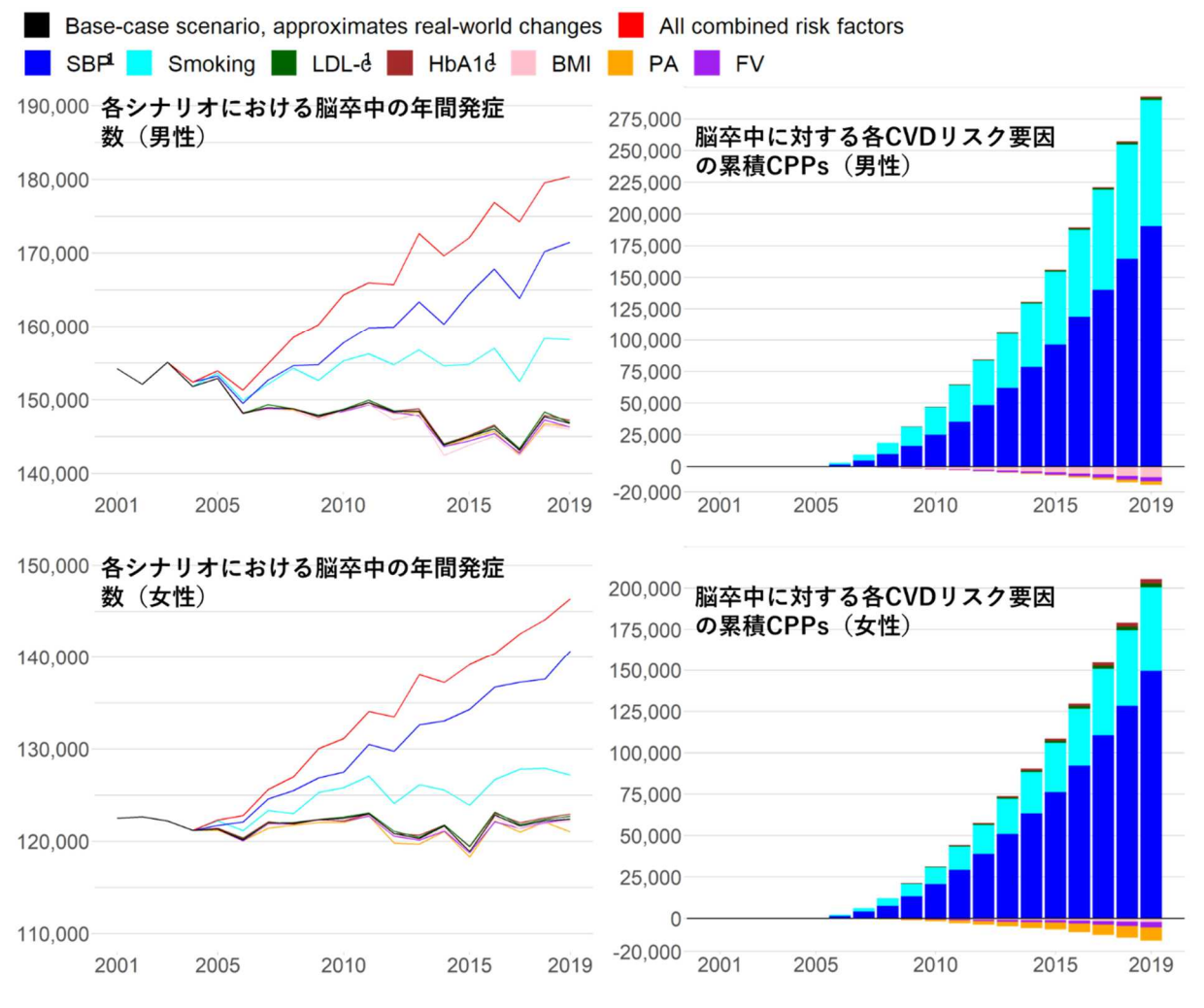


Figure 3. 日本における 2001 年から 2019 年の脳卒中の年間発症数と、各 CVD リスク要因の累積 CPPs。

※略語:CVD=循環器病、PA=身体活動、FV=果物・野菜摂取、BMI=体格指数、LDL-c=低比重リポ蛋白コレステロール、SBP=収縮期血圧、CPPs=予防または発症遅延された症例数。

※1:SBP、LDL-c、HbA1cは、それぞれ降圧薬、脂質低下薬、糖尿病治療薬の使用を考慮して補正している。

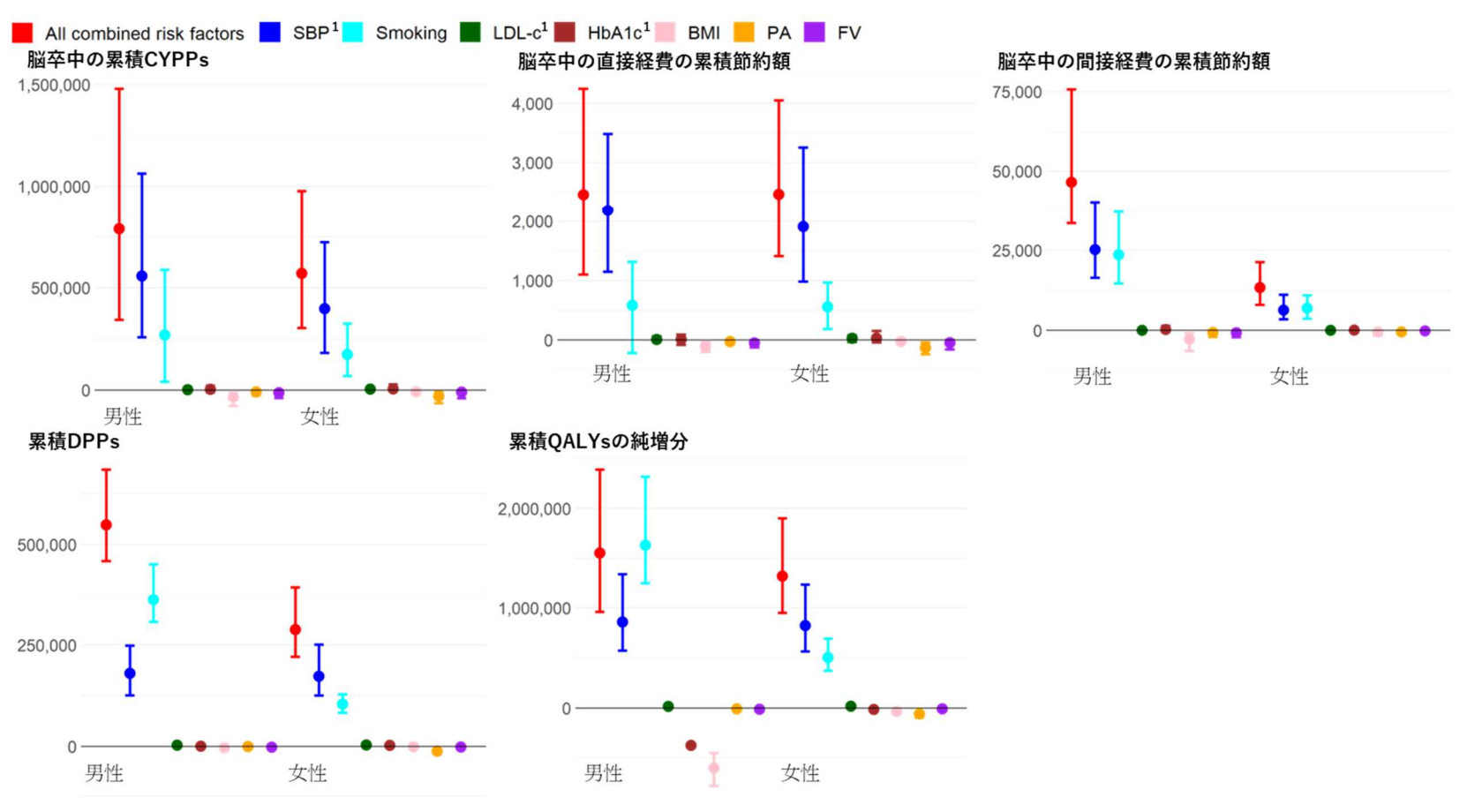


Figure 4. 日本における2001年から2019年の脳卒中に関する累積CYPPs、DPPs、純増QALYs、および純節約された直接・間接費の推計結果 ※略語:CVD=循環器病、PA=身体活動、FV=果物・野菜摂取、BMI=体格指数、LDL-c=低比重リポ蛋白コレステロール、SBP=収縮期血圧、 CYPPs=予防・遅延された罹患年数、DPPs=予防・遅延された死亡数。

※結果は中央値(点)および95%不確実性区間(誤差バー)で示している。シナリオ間では共通パラメータを使用しているため、結果には相関が存在 し、区間が重なっていても統計的有意差がないとは限らない。

※1:SBP、LDL-c、HbA1cについては、それぞれ降圧薬、脂質低下薬、糖尿病治療薬の使用を考慮して補正している。

Table 1. 循環器病リスク要因毎の脳卒中発症と死亡への効果量の仮定パラメーターの一覧

パラメーター	概要	出典
喫煙の相対リスク	GBD メタアナリシス	Global Burden of Disease Study 2019 (GBD 2019)
収縮期血圧の相対リスク	61 件の前向き研究からの個別データの	The Lancet 2002; 360: 1903–13
	メタアナリシス	
LDL コレステロールの相対リ	32 件の前向き研究からの個別データの	JAMA. 2009;302(18):1993–2000
スク	メタアナリシス	
BMI の相対リスク	58 件の前向き研究のメタアナリシス	The Lancet 2011; 377: 1085–95
HbA1c の相対リスク	4件の前向き研究のメタアナリシス	PLoS One. 2012; 7(8): e42551
身体活動の相対リスク	脳卒中について 8 件のコホート研究の	World Health Organization 2004.
	メタアナリシス	
果物・野菜摂取の相対リスク	7件のコホート研究のメタアナリシス	Neurology 2005; 65: 1193–7

Table 2. 日本版 IMPACT NCD モデルによる、現実に観測された CVD リスク要因の変化を反映したベースケースシナリオにおける脳卒中お よび保健経済指標の 2001 年と 2019 年の推定値 (95% 不確実性区間)

		男性		女性	
	2001	2019	2001	2019	
人口(千人対)					
30-64 years old	30,371	28,735	30,513	28,268	
65 and over years old	9,618	15,521	13,253	20,232	
Total	39,989	44,256	43,766	48,500	
脳卒中					
粗発症率 (/10万人年)	390 (240 to 630)	330 (230 to 500)	280 (200 to 420)	250 (180 to 360)	
粗有病率 (/10万人年)	4,100 (3,600 to 4,500)	5,200 (4,100 to 7,300)	2,700 (2,500 to 3,000)	3,600 (2,900 to 4,800)	
粗死亡率 (/10万人年)	150 (110 to 220)	100 (70 to 190)	140 (110 to 210)	85 (65 to 130)	
直接医療費(日本円)	580B (450B to 740B)	930B (not applicable)	530B (430B to 670B)	890B (not applicable)	
間接医療費(日本円)	2,600B (1,900B to 3,600B)	2,300B (1,900B to 2,700B)	960B (740B to 1,400B)	1,100B (960B to 1,200B)	

Abbreviations: UI, uncertainty interval; JPY, Japanese yen; USD, US dollars; QALYs, quality-adjusted life years. Estimates of direct costs for 2019 were used as a reference and do not have any uncertainty.

Table 3. 日本における 2001 年から 2019 年の脳卒中負荷に対する全モデル化 CVD リスク要因の累積変化の寄与(95%不確実性区間): 日本版 IMPACT NCD による推計

2001年から2019年の累積値	男性	女性
CPPs		
Stroke	280,000 (150,000 to 460,000)	190,000 (110,000 to 310,000)
CYPPs	•	
Stroke	790,000 (340,000 to 1,500,000)	570,000 (300,000 to 980,000)
DPPs	550,000 (460,000 to 680,000)	290,000 (220,000 to 390,000)
Net gained QALYs	1,600,000 (960,000 to 2,400,000)	1,300,000 (950,000 to 1,900,000)
Net saved direct costs		
Stroke (in JPY)	230B (100B to 400B)	230B (130B to 380B)
Net saved indirect costs		
Stroke (in JPY)	4,400B (3,200B to 7,200B)	1,300B (760B to 2,000B)

UI=不確実性区間、JPY=日本円、USD=米ドル、CVD=心血管疾患、CPPs=予防または発症遅延された症例数、CYPPs=予防または発症遅延された罹患年数、DPPs=予防または死亡遅延数、QALYs=質調整生存年。

※1:モデル化された CVD リスク要因には、収縮期血圧、喫煙、身体活動、LDL コレステロール、HbA1c、果物・野菜摂取量、体格指数 (BMI) が含まれる。なお、SBP、LDL-c、HbA1c については、それぞれ降圧薬、脂質低下薬、糖尿病治療薬の使用を考慮して補正している。